

13种胆碱能拮抗剂对大鼠心脏M-胆碱能受体的作用

沈淑英* 许 建 金国章 (中国科学院上海药物研究所, 上海 200031)

摘要 13种胆碱能拮抗剂竞争抑制 $[^3\text{H}]QNB$ 与大鼠心脏M-胆碱能受体结合的动力学参数: 1) 亲和力(K_i)次序为 $\text{QNB} > 7923 > \text{东莨菪碱} > \text{阿托品} > \text{B}-7601 > \text{M}-8225 > \text{苯海索} > \text{S}-18, \text{M}-8218 > 7810 > \text{S}-27 > \text{山莨菪碱} > \text{樟柳碱}$ 。2) 斜率(b)约为1。表明它们作用于相同的M-胆碱能受体。3) 大多数拮抗剂的Hill系数(n_H)近于1, 表示无协作关系的双分子结合。

关键词 大鼠心脏; M-胆碱能受体; 二苯羟乙酸奎宁酯; 东莨菪碱; 抗副交感神经药; Scatchard式; Hill系数

1983年9月8日收稿 1984年4月13日修回

* 上海第一医学院药理教研组进修教师

作者对中枢M-胆碱能药物曾提出划分亚型的设想⁽¹⁾, 用多种类型的M-胆碱能拮抗剂进行比较。当用大脑皮层、纹状体、迴肠、腮腺的M-胆碱能受体膜蛋白与 $[^3\text{H}]QNB$ 作受体结合试验时^(2,3)发现它们对腮腺M-胆碱能受体的亲和力次序有显著的倒转现象。已报道心脏有不同的M-胆碱亚型受体⁽⁴⁾。本文应用这些M-胆碱能拮抗剂研究它们对心脏的M-胆碱能受体的亲和力强度和次序, 并与其对大脑皮层的亲和力⁽²⁾相比, 看是否有特殊差异, 为研究亚

型受体提供线索。

材料和方法

材料 二苯羟乙酸奎宁酯(QNB)和B-7601由解放军药物化学研究所提供; M-8225, M-8218, 7923, 7810, S-18和S-27由本所提供的(图1); 苯海索系上海第十一制药厂生产; 盐酸山莨菪碱针剂系北京制药厂产品; 樟柳碱针剂系沪第十制药厂产品; 溴化东莨菪碱为E. Merck公司产品。玻璃纤维滤纸(GF/C)为Whatman公司产品; [³H]QNB(16.78Ci/mmol)系Radiochemical Centre Amersham产品。

大鼠心脏M-胆碱能受体膜蛋白的制备 参照文献⁽⁵⁻⁷⁾, 将♂大鼠220±SD 21g击毙, 取出心脏。按10:1, v/w加入冰冷的提取缓冲液

(0.25M蔗糖, 5mM Tris/HCl pH 7.4, 1mM MgCl₂), 在冰浴中制成匀浆, 通过4层纱布过滤。其滤液离心(480×g, 4℃, 10min), 取上清液再离心(30,000×g, 4℃, 20min), 沉淀部分用孵育缓冲液洗涤1次(50mM Tris/HCl pH 7.4, 10mM MgCl₂), 重复离心, 取沉淀物(受体蛋白)悬浮于原重量3倍的孵育缓冲液中, 按Lowry氏法测蛋白含量, 然后分装贮存于冰箱备用2周。每次用50只心脏制备, 共制备二批。

受体结合试验 贮存的膜蛋白解冻后, 将2mg膜蛋白(5mg/ml)与[³H]QNB(0.3-4.8nM)及孵育缓冲液混合。非专一结合管另加非标记的QNB(0.3μM), 总反应容量为2ml。37℃保温40min, 加入3ml冰冷孵育缓冲液终止反应。立即经玻璃纤维滤纸减压抽滤, 用孵

育缓冲液洗滤纸4次, 滤纸经80℃, 20min烘干, 放入含有PPO和POPOP的二甲苯闪烁液中计数。

[³H]QNB与心脏M-胆碱能受体结合的平衡离解常数(K_D)和最大结合量(B_{max})按Scatchard式计算, 再求Hill系数(n_H)⁽⁸⁾。

M-胆碱能拮抗剂与大鼠心脏M-胆碱能受体的竞争结合试验 在2mg受体蛋白的孵育缓冲液中, 以胆碱能拮抗剂(10nM-100mM)与[³H]QNB(2.4nM)孵育。每次均为复管试验, 其它过程同上。按量-效式(D/R)⁽⁹⁾计算拮抗剂抑制[³H]QNB结合50%时所需浓度(IC_{50})和斜率(b), 再求Hill系数(n_H), 通过 $K_1 = IC_{50} / (1 + L/K_D)$ 式计算 K_1 值⁽²⁾。从而比较各拮抗剂与心脏M-胆碱能受体结合的亲和力。式中L为放射配基浓度, K_D 为Scatchard式计算的值。

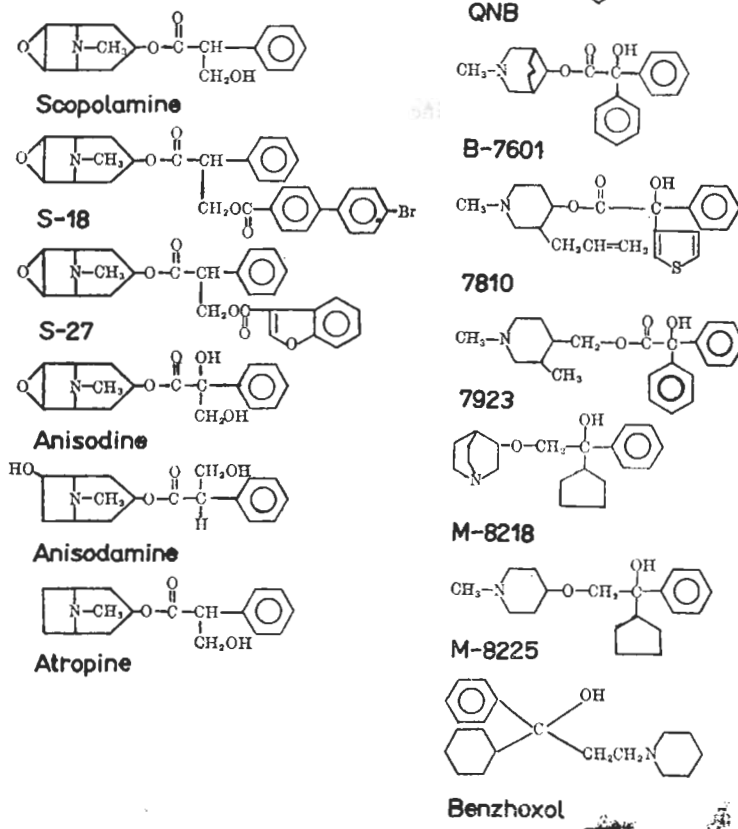


Fig 1. Structures of 13 cholinergic antagonists.

结果和讨论

大鼠心脏 M-胆碱能受体与不同浓度 [^3H] QNB 的专一结合的量-效饱和曲线见图 2。在测定范围内非专一结合为总结合的 10-20%。

经 Scatchard 式求得的 $K_D = 0.36 \text{ nM}$, $B_{max} = 29.8 \text{ fmol/mg protein}$, 作图。按 Hill 式求得的 $K_D = 0.41 \text{ nM}$, $n_H = 0.92$, 作图 2。因 n_H 近于 1, 表明 [^3H]QNB 与心脏 M-胆碱能受体作用是双分子结合的。

13 种胆碱能拮抗剂竞争抑制 [^3H]QNB 与心脏 M-胆碱能受体结合的动力学参数 (K_1 , b , n_H) 见表 1, 其亲和力的强弱次序为 QNB >

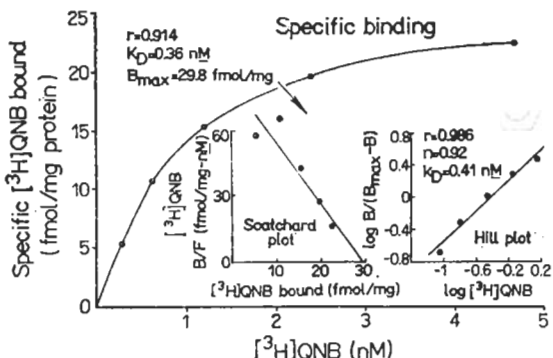


Fig 2. Specific binding of [^3H]QNB to M-cholinergic receptors from rat heart membrane.

7923, 东莨菪碱 > 阿托品 > B-7601 > M-8225 > 苯海索 > S-18, M-8218 > 7810 > S-27 > 山莨菪碱 > 樟柳碱。这与前文⁽²⁾对中枢大脑皮层 M-胆碱能受体亲和力的强弱次序大体相仿(表 1), 并没有明显的倒转现象。在本试验条件下, 未发现外周心脏与中枢大脑皮层的 M-受体存在不同亚型受体的依据。但从具体的亲和力强度来看, 这些拮抗剂对大脑皮层 M-受体的亲和力相应的都比心脏的要强(1-18 倍), 这可能由于皮层内 M-胆碱能受体密度较大, 也可能由于此受体的结合点更适合于它们。

经 D/R 式处理求得的斜率(b)约为 1, 表明他们的作用曲线的斜率很相似, 这种平行关系提示各拮抗剂均作用在相同的心脏 M-胆碱

能受体上竞争相同的受点; 绝大多数拮抗剂的 n_H 为 0.8-1.0, 看来它们似乎与受体结合是以双分子方式进行的无协作关系。

药物是通过和某些特异性受体相结合而发生作用的, 这种结合能力以亲和力表示, 药物对受体的亲和力与药物的生物效应之间存在着密切的关系。从实验数据(表 1)分析, 苯海索

Tab 1. Comparison of kinetic parameters of 13 cholinergic antagonists on M-cholinergic receptors in rat heart and cerebral cortex

Antagonist	Cortex*		Heart	
	$K_1(\text{nM})$	$K_1(\text{nM})$	b	n_H
QNB	0.13	0.2	1.02	0.973
7923		2.7	1.00	0.841
Scopolamine	1.1	2.8	1.03	0.787
Atropine	1.9	3.8	0.999	0.955
B-7601	2.3	7.8	0.970	0.919
M-8225	4.8	8.2	1.01	0.805
Benzhexol	2.3	10.0	0.957	1.02
S-18	1.0	18.0	0.972	1.03
M-8218	2.3	19.0	1.04	1.01
7810	22.0	40.0	1.00	0.929
S-27	18.0	73.0	1.01	0.742
Anisodamine	130.0	150.0	0.988	0.950
Anisodine	33.0	270.0	1.01	0.958

* Ref 2

抗 M-胆碱作用的亲和力在中枢要比外周心脏的强约 4.3 倍, 这结果与文献⁽¹⁰⁾将苯海索称为选择性中枢作用的抗胆碱药的材料相符。S-18 的中枢抗胆碱作用要比心脏的强 18 倍, 它是否能成为一个中枢作用更为突出的药物, 有待探讨。对心脏 M-胆碱能受体结合的亲和力山莨菪碱大于樟柳碱约 1.8 倍, 而对皮层 M-胆碱能受体的亲和力则樟柳碱大于山莨菪碱约 4 倍, 这也支持樟柳碱的中枢作用较山莨菪碱强⁽¹¹⁾; 反之, 说明山莨菪碱的外周抗胆碱作用较强, 具有选择较高的优点。

参 考 文 献

- 1 金国章. 药学通报 1980; 15: 181
- 2 许建、金国章、俞蕾平、李建华、俞鹤瑶. 中国药理学报 1983; 4: 156
- 3 俞鹤瑶、金国章、许建、俞蕾平、李建华. 生

- 理学报 1985; 37: 282
- 4 Barlow RB, Burston KN, Vis A. *Br J Pharmacol* 1980; 68: 141
 - 5 Tse J, Powell JR, Baste CA, Priest RE, Kuo JF. *Endocrinology* 1979; 105: 246
 - 6 Story DD, Briley MS, Langer SZ. *Eur J Pharmacol* 1978; 57: 423
 - 7 Rimele TJ, Gaginella TS. *Biochem Pharmacol* 1982; 31: 515
 - 8 Bennett JP. Methods in binding studies. In: Yamamura HI, Enna SJ, Kuhar MJ, eds. *Neurotransmitter receptor binding*. 1st ed. NY: Raven Press, 1978: 57-90
 - 9 金正均. 中国药理学报 1980; 1: 3
 - 10 Bowman WC, Rand MJ. Parkinson's disease and drugs used in its treatment. In: Bowman WC, Rand MJ, eds. *Textbook of pharmacology*. 2nd ed. Oxford: Blackwell, 1980; 18: 19
 - 11 中国医学科学院药物研究所药理室神经组. 中华医学杂志 1975; 55: 795

Acta Pharmacologica Sinica 1985 Sep, 6 (3) : 158-161

EFFECT OF 13 CHOLINERGIC ANTAGONISTS ON M-CHOLINERGIC RECEPTORS IN RAT HEARTS

SHEN Shu-ying, XU Jian, JIN Guo-zhang

(Shanghai Institute of Materia Medica, Chinese Academy of Sciences, Shanghai 200031)

ABSTRACT By means of radioligand receptor binding assay of M-cholinergic receptors from rat heart membranes, the results showed that [³H]QNB bound in a saturable manner to M-cholinergic receptors with an equilibrium dissociation constant (K_D) = 0.36 nM and the maximum number of binding sites (B_{max}) = 29.8 fmol/mg protein.

The affinities and modes of action of 13 cholinergic antagonists on M-cholinergic receptors in rat heart were measured from inhibition of [³H]QNB binding to M-cholinergic receptors. By the dose-response equation and Hill equation, the calculated kinetics parameters were as follows:

1. The order of affinity constants (K_1)

was QNB > 7923, scopolamine > atropine > B-7601 > M-8225 > benzhexol > S-18, M-8218 > 7810 > S-27 > anisodamine > anisodine.

2. Their slopes (b) were all close to 1. It suggested that the antagonists acted on the same M-cholinergic receptor sites.

3. The Hill numbers (n_H) of most antagonists approximated to 1, which indicated receptor binding of antagonists likely to be bimolecular reaction without cooperative interactions.

KEY WORDS rat heart, M-cholinergic receptors; QNB; scopolamine; parasympatholytics; Scatchard plot; Hill coefficient